

Работа 4.3.1

Дифракции Френеля и Фраунгофера

Балдин Виктор Алексеевич
группа Б01-303

Цель работы: исследовать явления дифракции Френеля и Фраунгофера на щели, изучить влияние дифракции на разрешающую способность оптических инструментов.

В работе используются: оптическая скамья, ртутная лампа, монохроматор, щели с регулируемой шириной, рамка с вертикальной нитью, двойная щель, микроскоп на поперечных салазках с микрометрическим винтом, зрительная труба.

1 Дифракция Френеля

Установка

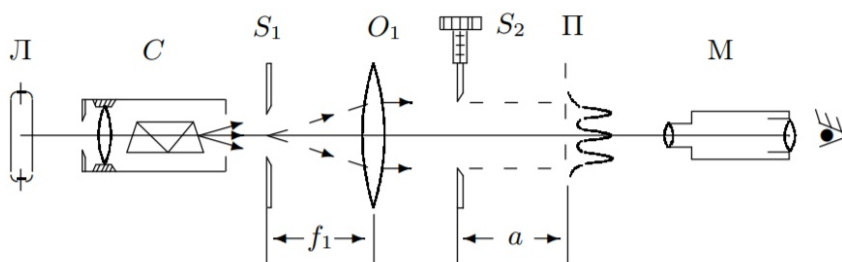


Рис. 1: Схема установки.

Схема установки представлена на Рис. 1.

Теория

Распределение интенсивности света в плоскости Π рассчитаем с помощью зон Френеля. При освещении S_2 параллельным пучком лучей (плоская зона) зоны Френеля представляют собой плоскости, параллельные краям щели. Результирующая амплитуда в точке наблюдения определяется суперпозицией колебаний от тех зон Френеля, которые не перекрыты створками щели. Графическое определение результирующей амплитуды производится с помощью векторной диаграммы – спирали Корню. Суммарная ширина m зон Френеля z_m определяется соотношением

$$z_m = \sqrt{am\lambda}, \quad (1)$$

где a – расстояние от щели до плоскости Π . Вид наблюдаемой картины определяется числом Френеля Φ :

$$\Phi^2 = \frac{D}{\sqrt{a\lambda}}$$

– число зон Френеля, которые укладываются в ширине щели D . $p = \frac{1}{\Phi^2}$ называется *волновым параметром*.

2 Дифракция Фраунгофера на щели

Теория

Для выкладок ниже нам потребуется знать *принцип Гюйгенса-Френеля*. Он формулируется следующим образом

Каждый элемент волнового фронта можно рассматривать как центр вторичного возмущения, порождающего вторичные сферические волны, а результирующее световое поле в каждой точке пространства будет определяться интерференцией этих волн.

Теперь рассмотрим первое применение этого принципа, получившее название *метод зон Френеля*

Для этого рассмотрим действие световой волны действующей из точки A в какой-то точке B .

В этом случае можно, взяв точку M_0 в качестве центра (см. рис. 1), построить ряд концентрических сфер, радиусы которых начинаются с b и увеличиваются каждый раз на половину длины волны $\lambda/2$. При пересечении с плоским фронтом волны F эти сферы дадут концентрические окружности. Таким образом, на фронте волны появятся кольцевые зоны (зоны Френеля) с радиусами r_1, r_2 и т. д.

Из геометрических соображений посчитав, можно получить, что

$$r_i = i\sqrt{a\lambda} \quad (2)$$

Введем так же обозначение: *число Френеля*

$$\Phi^2 = \frac{D}{\sqrt{a\lambda}} \quad (3)$$

В этом пункте рассмотрим дифракцию, когда ширина щели становится значительно меньше ширины первой зоны Френеля, т.е. если

$$D \ll \sqrt{a\lambda} \quad (4)$$

Это условие всегда выполняется при достаточно большом a . В этом случае говорят,

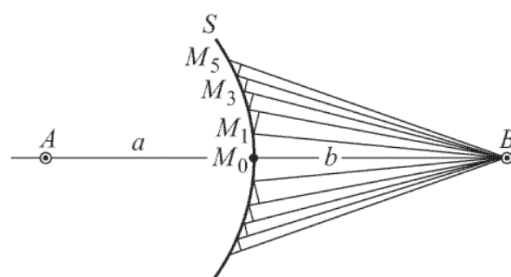
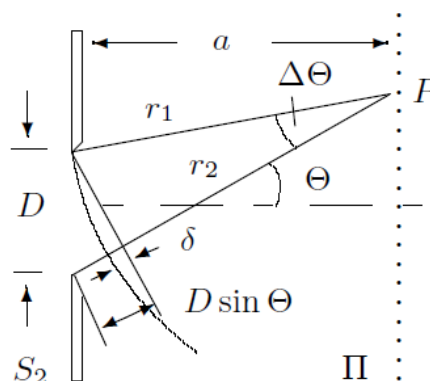


Рис. 2: Построение зон Френеля



что *дифракция Фраунгофера*. При выполнении пункта (2) у нас заметно упрощаются фазовые соотношения, что поясняет рис. 2, в итоге с хорошим приближением можно считать, что разность хода между соседними лучами равна

$$\Delta = r_2 - r_1 \approx D \sin \theta \approx D \cdot \theta \quad (5)$$

Здесь предполагается, что θ достаточно мал.

Схема установки

Дифракцию Фраунгофера можно наблюдать на подобной установке

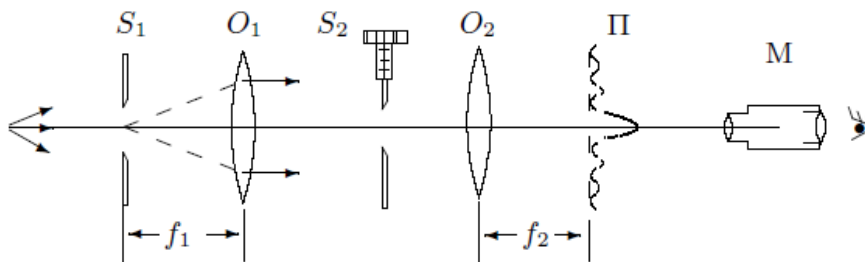


Рис. 4: Схема установки для пункта 2

Объектив здесь нужен для удобства, так как неудобно работать с очень узкими щелями. Дифракционная картина здесь наблюдается в фокальной плоскости объектива O_2 .

Посчитав легко определить угловую координату любой темной полосы:

$$\theta_m = \frac{m\lambda}{D} \quad (6)$$

И расстояние от центра соответственно

$$X_m = f_2 m \frac{\lambda}{D} \quad (7)$$